

LncRNA TUG1 在甲状腺癌组织中的表达及其对细胞增殖和迁移的影响

赵芳芳，郭红，陈嘉（汉中市人民医院内分泌科，陕西汉中 723000）

摘要：目的 检测 LncRNA TUG1 在甲状腺癌组织及细胞中的表达，探究其对细胞增殖和迁移的影响。**方法** 收集 2015 年 1 月~2018 年 6 月在汉中市人民医院行手术治疗并经病理确诊的 36 例甲状腺癌患者癌组织标本及其相对应的正常癌旁甲状腺组织进行研究。采用 qRT-PCR 法检测甲状腺癌组织及 SW1736, FTC-133 细胞株中 LncRNA TUG1 表达水平。将 shRNA 插入慢病毒质粒中构建 LncRNA TUG1 低表达质粒 (LV-shTUG1)。采用 MTT 法、集落形成实验及 Transwell 实验检测敲降 LncRNA TUG1 表达对甲状腺癌细胞增殖和迁移的影响；采用蛋白印迹分析实验检测 LncRNA TUG1 对 EMT 相关蛋白 E-cadherin 和 N-cadherin 表达的影响。**结果** 与正常癌旁甲状腺组织相比，甲状腺癌组织中 LncRNA TUG1 高表达，差异有统计学意义 (6.90 ± 1.19 vs 1.51 ± 1.02 , $t=20.634$, $P < 0.000$)。与 Nthy-ori 3-1 细胞相比，FTC-133 细胞 (1.00 ± 0.09 vs 4.61 ± 0.15) 和 SW1736 细胞 (1.00 ± 0.09 vs 2.59 ± 0.23) 中 LncRNA TUG1 水平明显升高，差异有统计学意义 ($t=35.744$, $P < 0.000$; $t=11.150$, $P < 0.000$)。敲降 LncRNA TUG1 表达后，SW1736 细胞 (1.31 ± 0.19 vs 0.89 ± 0.16) 和 FTC-133 细胞 (2.17 ± 0.09 vs 1.68 ± 0.05) 增殖能力较对照组明显降低，克隆形成数目明显减少，差异有统计学意义 ($t=2.929$, $P=0.021$; $t=8.243$, $P=0.001$)。敲降 LncRNA TUG1 表达后，FTC-133 细胞迁移能力 (1675.2 ± 64.2 vs 898.1 ± 156.4) 较对照组显著降低，差异有统计学意义 ($t=7.961$, $P=0.001$)。敲降 LncRNA TUG1 表达后，与对照组相比，E-cadherin 表达量 (0.74 ± 0.06 vs 1.66 ± 0.17) 显著升高，N-cadherin 表达量 (1.27 ± 0.18 vs 0.39 ± 0.07) 显著降低，差异有统计学意义 ($t=8.839$, $P < 0.000$; $t=7.892$, $P=0.001$)。**结论** LncRNA TUG1 在甲状腺癌组织及细胞中高表达，促进甲状腺癌细胞增殖和迁移，可能通过促进 EMT 的形成进而促进甲状腺癌细胞的生物学行为。

关键词：LncRNA TUG1；甲状腺癌；生物学行为

中图分类号：R736.1；R730.43 文献标识码：A 文章编号：1671-7414 (2020) 06-042-06

doi:10.3969/j.issn.1671-7414.2020.06.011

Expression of LncRNA TUG1 in Thyroid Carcinoma Tissues and Its Effect on Cell Proliferation and Migration

ZHAO Fang-fang, GUO Hong, CHEN Jia

(Department of Endocrinology, the People's Hospital of Hanzhong City, Shaanxi Hanzhong 723000, China)

Abstract: Objective To detect the expression of LncRNA TUG1 in thyroid carcinoma tissues and cells, and explore its effect on cell proliferation and migration. **Methods** From January 2015 to June 2018, 36 patients with thyroid cancer who underwent surgical treatment and were confirmed by pathology in Hanzhong People's Hospital were collected, and their corresponding normal para-cancer thyroid tissues were collected for study. The expression levels of LncRNA TUG1 in thyroid carcinoma tissues and SW1736 and FTC-133 cell lines were detected by qRT-PCR. LncRNA TUG1 low expression plasmid (LV-ShTUG1) was constructed by inserting shRNA into lentivirus plasmid. MTT assay, colony formation assay and Transwell assay were used to detect the effects of knocked down LncRNA TUG1 expression on proliferation and migration of thyroid cancer cells. The effect of LncRNA TUG1 on the expression of EMT-related proteins E-cadherin and N-cadherin was detected by western blot analysis. **Results** The expression of LncRNA TUG1 in thyroid carcinoma tissues was significantly higher than that in normal para-carcinoma thyroid tissues (6.90 ± 1.19 vs 1.51 ± 1.02 , $t=20.634$, $P < 0.000$). LncRNA TUG1 levels in FTC-133 cells (1.00 ± 0.09 vs 4.61 ± 0.15) and SW1736 cells (1.00 ± 0.09 vs 2.59 ± 0.23) were significantly increased compared with Thy-ORI cells ($t=35.744$, $P < 0.000$; $t=11.150$, $P < 0.000$). After LncRNA TUG1 expression was knocked down, the proliferation ability of SW1736 cells (1.31 ± 0.19 vs 0.89 ± 0.16) and FTC-133 cells (2.17 ± 0.09 vs 1.68 ± 0.05) was significantly reduced compared with the control group, and the number of clones was significantly reduced, with statistically significant difference ($t=2.929$, $P=0.021$; $t=8.243$, $P=0.001$). After LncRNA TUG1 expression was knocked down, FTC-133 cell migration ability (1675.2 ± 64.2 vs 898.1 ± 156.4) was significantly lower than that of the control group, and the difference was statistically significant ($t=7.961$,

作者简介：赵芳芳（1981-），女，硕士，主治医师，E-mail：netsomuch@163.com。

通讯作者：郭红（1975-），女，本科，主治医师，内分泌肾病科。

$P=0.001$)。After LncRNA TUG1 expression was knocked down, E-cadherin expression was significantly increased (0.74 ± 0.06 vs 1.66 ± 0.17) and N-cadherin expression was significantly decreased (1.27 ± 0.18 vs 0.39 ± 0.07) compared with the control group, the difference was statistically significant ($t=8.839, P < 0.000$; $t=7.892, P=0.001$)。Conclusion LncRNA TUG1 was highly expressed in thyroid cancer tissues and cells. Promoting the proliferation and migration of thyroid cancer cells may promote the biological behavior of thyroid cancer cells by promoting the formation of EMT。

Keywords: LncRNA TUG1; thyroid cancer; biological behavior

甲状腺癌 (thyroid carcinoma, TC) 是来源于甲状腺上皮细胞的恶性肿瘤, 约占全身恶性肿瘤的1%, 其发病呈年轻化趋势, 女性多发于男性^[1]。临幊上对TC患者的治疗有肿瘤切除、药物靶向治疗、化疗放疗等手段, 但治疗过程中仍然存在预后差等问题^[2], 对患者的健康和生活质量产生严重影响。因此, 进一步了解和揭示TC的发生发展机制, 找寻更多特异性分子标志物及治疗靶点, 对临床诊治意义重大。长链非编码RNA (long non-coding RNA, LncRNA) 是一段长度大于200个核苷酸的RNA序列, 已被证实是癌症发生发展的关键调节因子^[3-4]。牛磺酸上调基因1 (taurine upregulated gene 1, TUG1) 是位于染色体22q12的一种LncRNA^[5], 据报道LncRNA TUG1已在多种癌症中表达上调, 与癌症发生发展、细胞耐药及预后密切相关, 如LncRNA TUG1通过EZH2调控LIMK2b参与小细胞肺癌的细胞生长和化疗耐药性^[6]; Meta分析显示, LncRNA TUG1升高是肿瘤患者不良总生存期 (overall survival, OS) 的独立预后标志物^[7]; LncRNA TUG1通过WNT/ catenin通路促进上皮性卵巢癌细胞增殖和侵袭^[8]。然而LncRNA TUG1在TC中的功能机制目前仍不清楚, 因此, 本研究探究了LncRNA TUG1在TC组织及细胞中的表达及其对细胞增殖、迁移、侵袭的作用, 并初步探索其调控TC发生发展的作用机制, 为TC的分子靶向治疗提供理论基础。

1 材料与方法

1.1 研究对象 收集2015年1月~2018年6月于我院进行肿瘤切除手术治疗并经病例确诊的36例TC组织标本 (未分化癌5例, 滤泡状癌25例, 乳头状癌6例) 及其相对应正常的癌旁甲状腺组织。从ATCC公司购买人TC细胞株SW1736和FTC-133以及人正常甲状腺上皮细胞Nthy-ori 3-1, 含10ml/dl胎牛血清的Dulbecco改良Eagle培养基 (DMEM) 中培养。

1.2 试剂和仪器 酶联免疫检测仪购自美国BiTek公司。PCR扩增仪购自美国Thermo Fisher Scientific公司。Lipofectamine 2000试剂盒及Trizol试剂购自美国Invitrogen公司。PrimeScript RT Reagent Kit试剂盒及SYBR Prime Script RT-PCR Kit试剂盒购自日本Takara公司。DMEM培养基购自美国HyClone

公司。6孔板、96孔板及Transwell小室购自美国Corning公司。E-cadherin抗体、N-cadherin抗体和GAPDH抗体购自美国Abcam公司。

1.3 方法

1.3.1 实时定量逆转录聚合酶链反应 (qRT-PCR): 用Trizol试剂提取组织和细胞的总RNA。使用PrimeScript RT Reagent Kit根据说明书进行逆转录。使用SYBR Prime Script RT-PCR Kit进行qRT-PCR。引物如下, LncRNA TUG1正向: 5'-CTATACTCAGCTTCAGTGTT-3', 反向: 5'-TA CTGTATGGCCACCACTCC-3'; GAPDH正向: 5'-GAAGGCTGGGGCTCATTTGCAGGG-3', 反向: 5'-GGTGCAGGAGGCATTGCTGATGAT-3'。对纯化的RNA进行qRT-PCR分析, 并用GAPDH内参进行校正。

1.3.2 LncRNA TUG1低表达细胞系模型构建: 将shRNA插入慢病毒质粒中构建LncRNA TUG1低表达质粒 (LV-shTUG1), 以插入无意义序列的慢病毒载体 (negative control) 作为对照。使用LipofectamineTM 2000试剂盒 (Invitrogen) 按照说明书步骤将低表达质粒及对照质粒转染至细胞SW1736和FTC133中。

1.3.3 MTT实验和集落形成实验检测细胞增殖: MTT法: 将细胞接种于96孔板培养24 h, 利用pcDNA3.1转染细胞, 转染后0, 24, 48, 72和96 h, 向每孔加入20 μl MTT溶液, 室温孵育4 h, 除去培养基, 每孔加入100 μl DMSO, 于560 nm处测量吸光度 (A)。集落形成实验: 将细胞以500个/孔浓度接种于6孔板, 在含10 ml/dl胎牛血清的DMEM中37℃温育两周, 后固定细胞, 0.1 g/dl结晶紫染色, 计数可见菌落数。

1.3.4 Transwell试验检测细胞迁移: 将含有 5×10^4 个细胞的细胞悬液置于Transwell小室的上室, 含10 ml/dl胎牛血清的培养基加入Transwell小室的下室, 温育48 h, 擦去残留在上膜中的细胞, 用甲醇固定迁移过膜的细胞, 下层细胞用0.1 g/dl结晶紫染色并在显微镜下计数。

1.3.5 Western blot检测EMT相关蛋白表达: 取转染后细胞, 使用RIPA裂解缓冲液提取细胞总蛋白, BCA法测定蛋白浓度, 将提取蛋白与上样缓冲液混合, 于10 g/dl SDS-PAGE电泳, 转移至PVDF膜,

5 g/dl BSA 室温封闭 2 h, 加入 E-cadherin (1:2000), N-cadherin (1:2 000) 一抗, 室温孵育 4 h, TBST 洗膜 3 次; 加入二抗, 室温孵育 2 h, TBST 洗膜 3 次, 每次 15 min, 使用增强的化学发光检测试剂盒检测信号, 使用 Tanon 5200 化学发光成像系统进行分析。

1.4 统计学分析 使用 SPSS 20.0 软件进行统计学分析, LncRNA TUG1 在甲状腺癌组织及癌旁组织中的表达差异应用配对样本 *t* 检验; 各细胞组间差异比较采用独立样本 *t* 检验进行分析, $P < 0.05$ 为差异具有统计学意义。

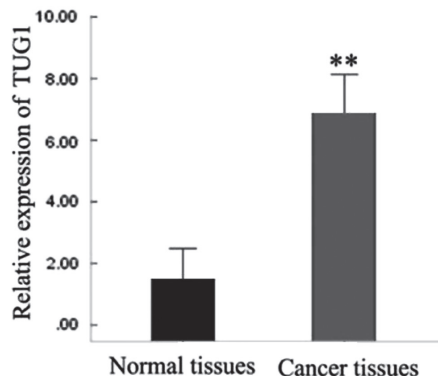
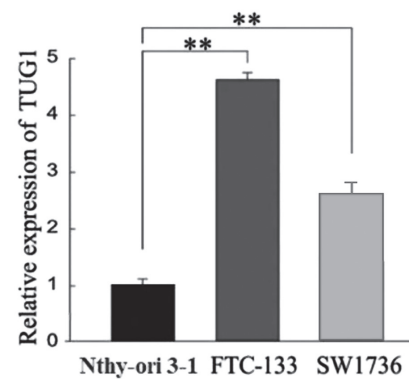


图 1 qRT-PCR 法检测 TC 组织及细胞中 LncRNA TUG1 的表达水平 (** $P < 0.01$)
2.2 敲降 LncRNA TUG1 表达抑制 TC 细胞的增殖 见图 2, 图 3。MTT 和集落形成实验检测显示, 与对照组相比, 敲降 LncRNA TUG1 表达后 SW1736 细胞 (1.31 ± 0.19 vs 0.89 ± 0.16) 和 FTC-

2 结果

2.1 LncRNA TUG1 在 TC 组织及细胞中高表达 见图 1。采用 qRT-PCR 法检测显示, 与癌旁正常组织相比, 癌组织中 LncRNA TUG1 表达 (1.51 ± 1.02 vs 6.90 ± 1.19) 显著升高, 差异有统计学意义 ($t=20.634$, $P < 0.000$); 与正常甲状腺上皮 Nthy-ori 3-1 细胞相比, FTC-133 细胞 (1.00 ± 0.09 vs 4.61 ± 0.15) 和 SW1736 细胞 (1.00 ± 0.09 vs 2.59 ± 0.23) 中 LncRNA TUG1 水平明显升高, 差异有统计学意义 ($t=35.744$, $P < 0.000$; $t=11.150$, $P < 0.000$)。



LncRNA TUG1 的表达水平 (** $P < 0.01$)
133 细胞 (2.17 ± 0.09 vs 1.68 ± 0.05) 增殖能力明显降低, 克隆形成数目明显减少, 差异有统计学意义 ($t=2.929$, $P=0.021$; $t=8.243$, $P=0.001$)。

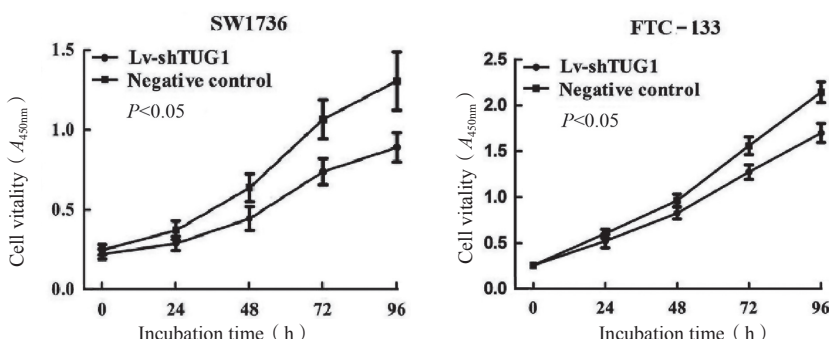


图 2 MTT 实验检测敲降 LncRNA TUG1 表达对 TC 细胞增殖的影响

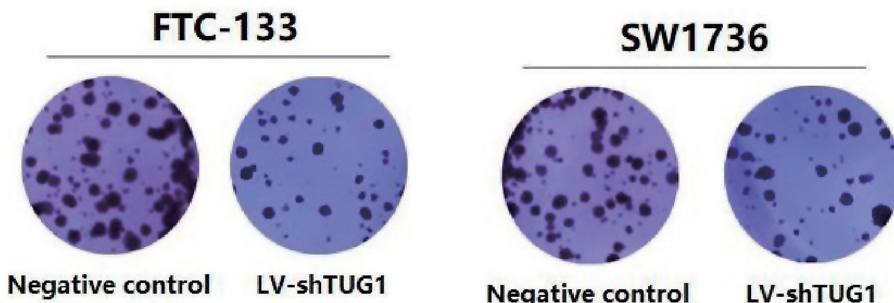


图 3 集落形成实验检测敲降 LncRNA TUG1 表达对 TC 细胞克隆形成能力的影响

2.3 敲降 LncRNA TUG1 表达抑制 TC 细胞的迁移 见图 4。以 FTC-133 细胞为例, Transwell 实

验检测显示, 与对照组相比, 敲降 LncRNA TUG1 表达后, FTC-133 细胞迁移能力 ($1.675.2 \pm 64.2$

vs 898.1 ± 156.4) 显著降低, 差异有统计学意义

($t=7.961, P=0.001$)。

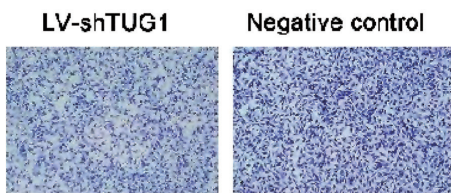
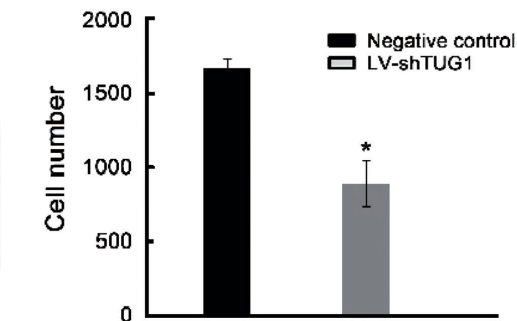


图4 敲降LncRNA TUG1表达对FTC-133细胞迁移的影响 ($*P<0.05$)

2.4 敲降LncRNA TUG1表达抑制TC细胞EMT的形成 见图5。采用Western blot检测EMT相关蛋白E-cadherin和N-cadherin的表达情况,结果显示:与对照组相比,敲降LncRNA TUG1表达后E-cadherin表达量(0.74 ± 0.06 vs 1.66 ± 0.17)显著升高,



N-cadherin表达量(1.27 ± 0.18 vs 0.39 ± 0.07)显著降低,差异有统计学意义($t=8.839, P < 0.000$; $t=7.892, P=0.001$)。提示LncRNA TUG1促进TC细胞EMT形成。

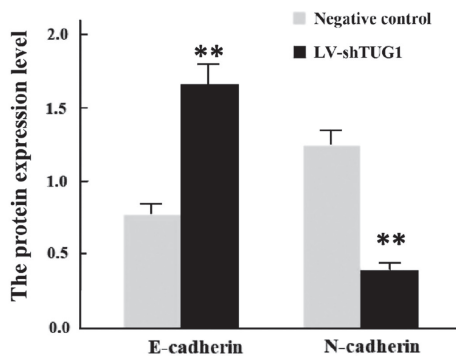
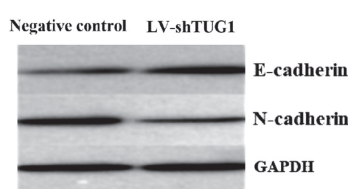


图5 LncRNA TUG1调节EMT相关蛋白的表达 ($**P<0.01$)

3 讨论

TC是由机体碘缺乏、辐射、遗传等因素引起的最常见的恶性肿瘤之一,近年发病率呈逐年上升趋势^[1],但其具体的发病机制目前尚不清楚。LncRNA通过多种途径调控基因表达及相关信号通路,进而调控肿瘤细胞的生物学行为,参与癌症的发生发展,被认为是多种癌症的关键调节因子^[9]。深入研究LncRNA与TC发生发展间的关系,可以为TC的分子诊断、靶向治疗及预测预后提供一定借鉴。

LncRNA在表观遗传、转录和转录后水平上参与基因表达的调控^[10],被广泛报道通过多种机制调节病理生理过程,如基因印记,组蛋白修饰,染色质重塑,转录激活^[11]等。并发现LncRNA可通过与微小RNA(miRNA)竞争性结合并因此抑制其功能(即阻断与靶mRNA的相互作用)^[11]。大量研究发现,LncRNAs在众多不同疾病类型中均差异表达,通过多种途径参与调控肿瘤细胞增殖、侵袭及迁移等恶性生物学行为,诱导癌症的恶性进展,表现为原癌基因或抑癌基因发挥作用^[12-16]。

LncRNA TUG1最初被鉴定为是由牛磺酸上调的转录物,在许多癌症中已经报道了LncRNA TUG1的异常表达,发现TUG1可通过招募某些RNA结合蛋白,进而促进靶基因表达,影响肿瘤血管生成或充当竞争性内源性RNA(ceRNA)调控肿瘤的发生发展^[5]。CAO等^[17]研究发现,LncRNA TUG1是骨肉瘤患者存活的预后因素。LncRNA TUG1高表达与膀胱癌和食管鳞癌细胞的增殖和转移有关^[18-19]。NIU等^[6]研究发现,LncRNA TUG1通过EZH2调控LIMK2b参与小细胞肺癌的细胞生长和化疗耐药性。LI等^[20]发现,LncRNA TUG1通过与PRC2结合调节胃癌细胞增殖。WANG等^[21]研究发现,LncRNA TUG1通过EMT途径促进结肠直肠癌的转移。由此可见,LncRNA TUG1在调节多种转录因子和生理过程中具有重要意义,提示TUG1有望成为众多肿瘤诊断及预后的生物标志物或治疗新靶点。因此,研究LncRNA TUG1在TC中发挥的功能及其分子机制对寻找新的治疗靶点至关重要。

本研究应用qRT-PCR检测发现TC组织及细胞中LncRNA TUG1表达水平较癌旁正常组织及

正常甲状腺上皮细胞明显升高 ($P<0.05$)，提示LncRNA TUG1与TC的发生发展密切相关。将shRNA插入慢病毒质粒构建LncRNA TUG1低表达细胞系，采用MTT法、集落形成实验、Transwell实验于细胞水平检测发现敲降LncRNA TUG1表达明显抑制TC细胞的增殖及迁移能力 ($P<0.05$)，提示TC中LncRNA TUG1扮演促癌基因。EMT是上皮细胞获得迁移能力的有效方式，也是TC细胞浸润转移的重要形式，因此本研究通过蛋白印迹探究了LncRNA TUG1表达对TC细胞EMT形成的影响，发现敲降LncRNA TUG1表达抑制了EMT形成。表明LncRNA TUG1在TC中高表达，促进细胞的增殖及迁移，可能通过促进EMT的形成进而发挥作用。本研究初步证明了LncRNA TUG1通过调控EMT形成参与TC的发生发展，然而肿瘤的形成是一个复杂的调控过程，TUG1调控肿瘤发生发展的方式多样，必定涉及多种基因或因子的相互调节及信号转导通路，其调控TC恶性发展进程的分子机制还需进一步深入探究分析阐明。此外，包含TUG1在内的多个LncRNA近年被研究报道能够调控肿瘤能量代谢影响肿瘤恶性行为，其中LIN等^[22]在Hepatoligy上报道TUG1可调控肝癌细胞的糖酵解能力，影响癌细胞增殖、迁移。HAN等^[23]研究指出，LncRNA TUG1通过调节糖酵解作用影响骨肉瘤细胞的存活率。徐苏娟等^[24]通过Seahorse能量分析仪对卵巢癌OVCAR3细胞糖酵解压力及线粒体压力变化，显示干扰TUG1表达能显著降低癌细胞的线粒体呼吸和糖酵解通量，指出卵巢癌细胞的增殖及迁移可能与TUG1调控肿瘤能量代谢有关。目前，糖酵解作为肿瘤能量来源已被广泛接受，且主流观点认为肿瘤细胞即使在足氧条件下，仍可通过糖酵解方式消耗大量葡萄糖以给肿瘤细胞供能，即瓦氏效应(Warburg effect)^[25-26]。而TC中LncRNA TUG1是否也可通过调控能量代谢进而影响TC的生物学行为本研究尚未触及，是本研究的不足和缺陷，但可将其作为后期研究的一个新的探究方向。

综上所述，LncRNA TUG1在TC中过表达，可能通过促进EMT的形成进而促进癌细胞的增殖及迁移，可作为一种新的潜在癌基因，靶向抑制LncRNA TUG1的表达可能是TC治疗的一种新方法，对临床诊治及预测预后具有重要潜在价值。

参考文献：

- [1] VANDERPUMP MARK P J. Epidemiology of thyroid disorders: A comprehensive guide for the clinician[M]. The Thyroid and Its Diseases, 2019:75-85.
- [2] 王卓颖, 钱凯. 晚期甲状腺癌新辅助治疗进展 [J]. 中国实用外科杂志, 2019, 39 (3) :275-279.
- [3] WANG Zuoying, QIAN Kai. Progress of neoadjuvant therapy for advanced thyroid cancer [J]. Chinese Journal of Applied surgery, 2019, 39 (3) :275-279.
- [4] MAO Y, LIU R, ZHOU H, et al. Transcriptome analysis of miRNA-LncRNA-mRNA interactions in the malignant transformation process of gastric cancer initiation [J]. Cancer Gene Therapy, 2017, 24 (6): 267-275.
- [5] ZHU Shiyou, LI Wei, LIU Jingze, et al. Genome-scale deletion screening of human long non-coding RNAs using a paired-guide RNA CRISPR-Cas9 library [J]. Nature Biotechnology, 2016, 34(12): 1279-1286.
- [6] LI Zheng, SHEN Jianxiong, CHAN M T, et al. TUG1: a pivotal oncogenic long non-coding RNA of human cancers[J]. Cell Proliferation, 2016, 49(4): 471-475.
- [7] NIU Yuchun, MA Feng, HUANG Weimei. Long non-coding RNA TUG1 is involved in cell growth and chemoresistance of small cell lung cancer by regulating LIMK2b via EZH2[J]. Molecular cancer, 2017, 16(1): 5.
- [8] LIU Jia, LIN Jieru, LI Yingqi, et al. Prognostic role of lncRNA TUG1 for cancer outcome: Evidence from 840 cancer patients[J]. Oncotarget, 2017, 8(30):50051-50060.
- [9] LIU Shankun, LIU Ying, LU Qiang, et al. The lncRNA TUG1 promotes epithelial ovarian cancer cell proliferation and invasion via the WNT/ β -catenin pathway [J]. Onco Targets Ther, 2018, 11: 6845-6851.
- [10] 张振, 李芬. ceRNA与肿瘤 [J]. 现代检验医学杂志, 2016, 31 (4) :128-130.
- [11] ZHANG Zhen, LI Fen. ceRNA and tumor [J]. Journal of Modern Laboratory Medicine, 2016, 31 (4) :128-130.
- [12] FOK E T, DAVIGNON L, FANUCCHI S, et al. The lncRNA connection between cellular metabolism and epigenetics in trained immunity[J]. Frontiers in Immunology, 2018, 9:3184.
- [13] KOCH L. Functional genomics: Screening for lncRNA function[J]. Nature Reviews Genetics, 2017, 18(2): 70.
- [14] ZHANG Pengfei, CAO Limian, FAN Pingsheng, et al. LncRNA-MIF, a c-Myc-activated long non-coding RNA, suppresses glycolysis by promoting Fbxw7-mediated c-Myc degradation[J]. EMBO Reports, 2016, 17(8): 1204-1220.
- [15] 白盈盈, 朱光旭, 潘兴华. 长链非编码RNA对结直肠癌潜在诊断价值的研究进展 [J]. 现代检验医学杂志, 2018, 33 (1) :161-164.
- [16] BAI Yingying, ZHU Guangxu, PAN Xinghua. Advances in the potential diagnostic value of long non-coding RNA in colorectal cancer [J]. Journal of Modern Laboratory Medicine, 2016, 33 (1) :161-164.
- [17] XUE Mei, PANG Huan, LI Xu, et al. Long non-coding RNA urothelial cancer-associated 1 promotes bladder cancer cell migration and invasion by way of the hsa-miR-145-ZEB1/2-FSCN1 pathway[J]. Cancer science, 2016, 107(1): 18-27.

- [15] CHEN Xuemei,HAN Hongyu,LI Yuqi,et al. Upregulation of long noncoding RNA HOTTIP promotes metastasis of esophageal squamous cell carcinoma via induction of EMT[J]. *Oncotarget*,2016,7(51): 84480-84485.
- [16] SUN Ming, NIE Fengqi, WANG Yunfei, et al. LncRNA HOXA11-AS promotes proliferation and invasion of gastric cancer by scaffolding the chromatin modification factors PRC2, LSD1, and DNMT1[J]. *Cancer Research*, 2016, 76(21): 6299-6310.
- [17] CAO Jiaqing, HAN Xinyou, QI Xin, et al. TUG1 promotes osteosarcoma tumorigenesis by upregulating EZH2 expression via miR-144-3p[J]. *International Journal of Oncology*, 2017, 51(4): 1115-1123.
- [18] XU Youtao,WANG Jie, QIU Mantang,et al. Upregulation of the long noncoding RNA TUG1 promotes proliferation and migration of esophageal squamous cell carcinoma[J]. *Tumour Biology*,2015,36(3): 1643-1651.
- [19] ILIEV R, KLEINOVA R, JURACEK J, et al. Overexpression of long non-coding RNA TUG1 predicts poor prognosis and promotes cancer cell proliferation and migration in high-grade muscle-invasive bladder cancer[J]. *Tumour Biology*, 2016, 37(10): 13385-13390.
- [20] LI Jun,AN Gang,ZHANG Meng,et al. Long non-coding RNA TUG1 acts as a miR-26a sponge in human glioma cells[J]. *Biochemical and Biophysical Research Communications*,2016,477(4):743-748.
- [21] WANG Liang, ZHAO Zhenxian, FENG Weidong, et al. Long non-coding RNA TUG1 promotes colorectal cancer metastasis via EMT pathway[J]. *Oncotarget*, 2016, 7(32): 51713-51719.
- [22] LIN Y H,WU Menghan,HUANG Yahui,et al. Taurine up-regulated gene 1 functions as a master regulator to coordinate glycolysis and metastasis in hepatocellular carcinoma[J]. *Hepatology (Baltimore, Md.)*,2018,67(1): 188-203.
- [23] HAN Xiufu,YANG Yanming,SUN Yongjie,et al. LncRNA TUG1 affects cell viability by regulating glycolysis in osteosarcoma cells[J]. *Gene*, 2018, 674: 87-92.
- [24] 徐苏娟, 付子毅, 刘丝雨, 等. lncRNA TUG1 对卵巢癌细胞 OVCAR3 的增殖迁移及能量代谢的影响 [J]. *临床肿瘤学杂志*,2019,24 (1) :26-31.
XU Sujuan, FU Ziwei, LIU Siyu, et al. Effects of lncRNA TUG1 on proliferation, migration and energy metabolism of OVCAR3 cells[J]. *Chinese Clinical Oncology*, 2019, 24 (1) : 26-31.
- [25] BOROUGHIS L K, DEBERARDINIS R J. Metabolic pathways promoting cancer cell survival and growth[J]. *Nature Cell Biology*, 2015, 17(4): 351-359.
- [26] DANHIER P, BAŃSKI P, PAYEN V L, et al. Cancer metabolism in space and time: Beyond the Warburg effect[J]. *Biochimica et Biophysica Acta-Bioenergetics*, 2017, 1858(8): 556-572.

收稿日期: 2020-06-09

修回日期: 2020-06-30

(上接第 24 页)

- JIN Guangming, PU Lianshan. Association between NADPH oxidase subunit p22phox gene C242T polymorphism and lower limb arterio?sclerosis in type 2 diabetic patients[J]. *The Journal of Practical Medicine*, 2008,34(15):2510-2513.
- [11] 李小青, 康德, 张安平, 等. 老年 2 型糖尿病患者血浆同型半胱氨酸与动脉硬化相关性研究 [J]. *交通医学*, 2015,29 (5) : 474-476.
LI Xiaoqing, KANG De, ZHANG Anping, et al. Correlation between plasma homocysteine and atherosclerosis in elderly patients with type 2 diabetes[J]. *Medical Journal of Communications*, 2015,29 (5) : 474-476.
- [12] 叶成松. 血清同型半胱氨酸与 2 型糖尿病合并下肢动脉病变相关性研究 [J]. *临床医药文献电子杂志*, 2018, 5 (A3) :27, 32.
YE Chensong. Correlation between serum homocysteine and type 2 diabetes mellitus with lower extremity arterial disease[J]. *Journal of Clinical Medical Literature (Electronic Edition)*, 2018, 5 (A3) :27,32.
- [13] 张天瀛. 早期胰岛素泵强化治疗对新诊断 2 型糖尿病患者下肢血管病变发生发展的影响 [D]. 太原: 山西医科大学, 2016.
ZHANG Tianying. The effect of intensive therapy with insulin pump on the occurrence and development of

low limb vascular disease in newly diagnosed patients with type 2 diabetic mellitus[D]. Taiyuan: Shanxi Medical University, 2016.

- [14] 刘娜, 杨秋萍, 张健伟 . 云南彝族 Fetuin A 基因多态性与 2 型糖尿病合并下肢动脉硬化的相关性研究 [J]. *医学研究杂志*, 2008, 47 (6) : 45-51.
LIU Na, YANG Qiuping, ZHANG Jianwei, et al. Study on the correlation of Fetuin A gene polymorphism and lower extremity atherosclerosis with type 2 diabetes of Yi Nationality in Yunnan Province[J]. *Journal of Medical Research*, 2008, 47 (6) : 45-51.
- [15] 刘小玲, 李卫国, 李振华. 2 型糖尿病患者颈动脉内 - 中膜厚度与血清 IL-6 和 Fetuin-A 水平的关系研究 [J]. *现代检验医学杂志*, 2017,32 (5) :115-117.
LIU Xiaoling, LI Weiguo, LI Zhenhua. Study on the relationship of carotid intimal-medial wall thickness and the expression of IL-6 and fetuin-A in the serum of two type diabetes[J]. *Journal of Modern Laboratory Medicine*, 2017, 32 (5) :115-117.
- [16] JUNG S H, WON K J, LEE K P, et al. The serum protein fetuin-B is involved in the development of acute myocardial infarction[J]. *Clinical Science*, 2015, 129(1): 27-38.

收稿日期: 2020-05-08

修回日期: 2020-05-25